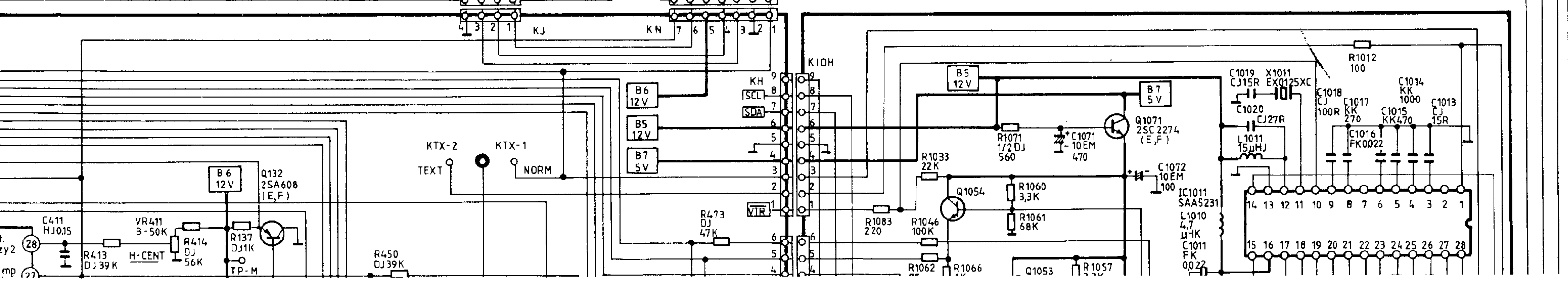
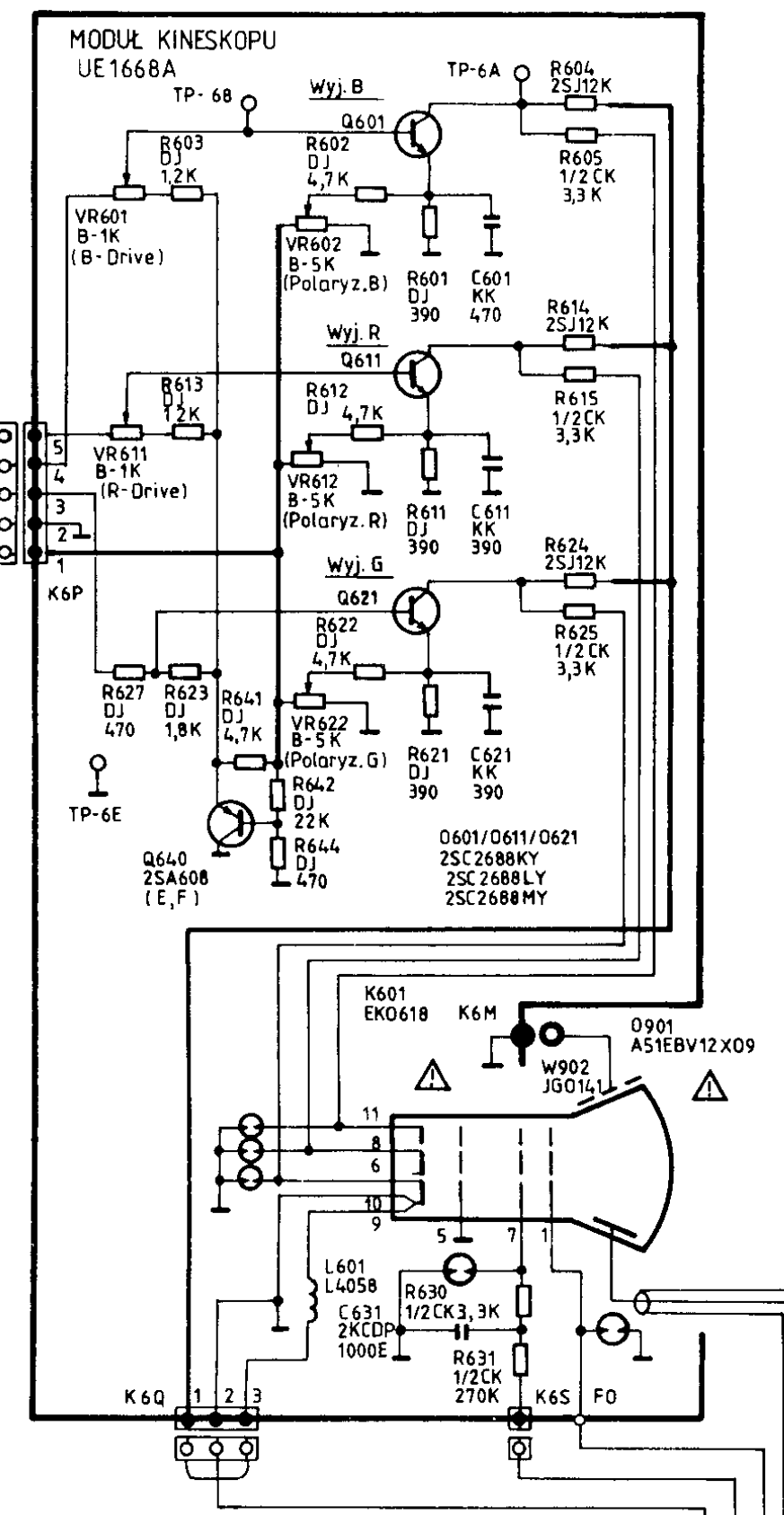
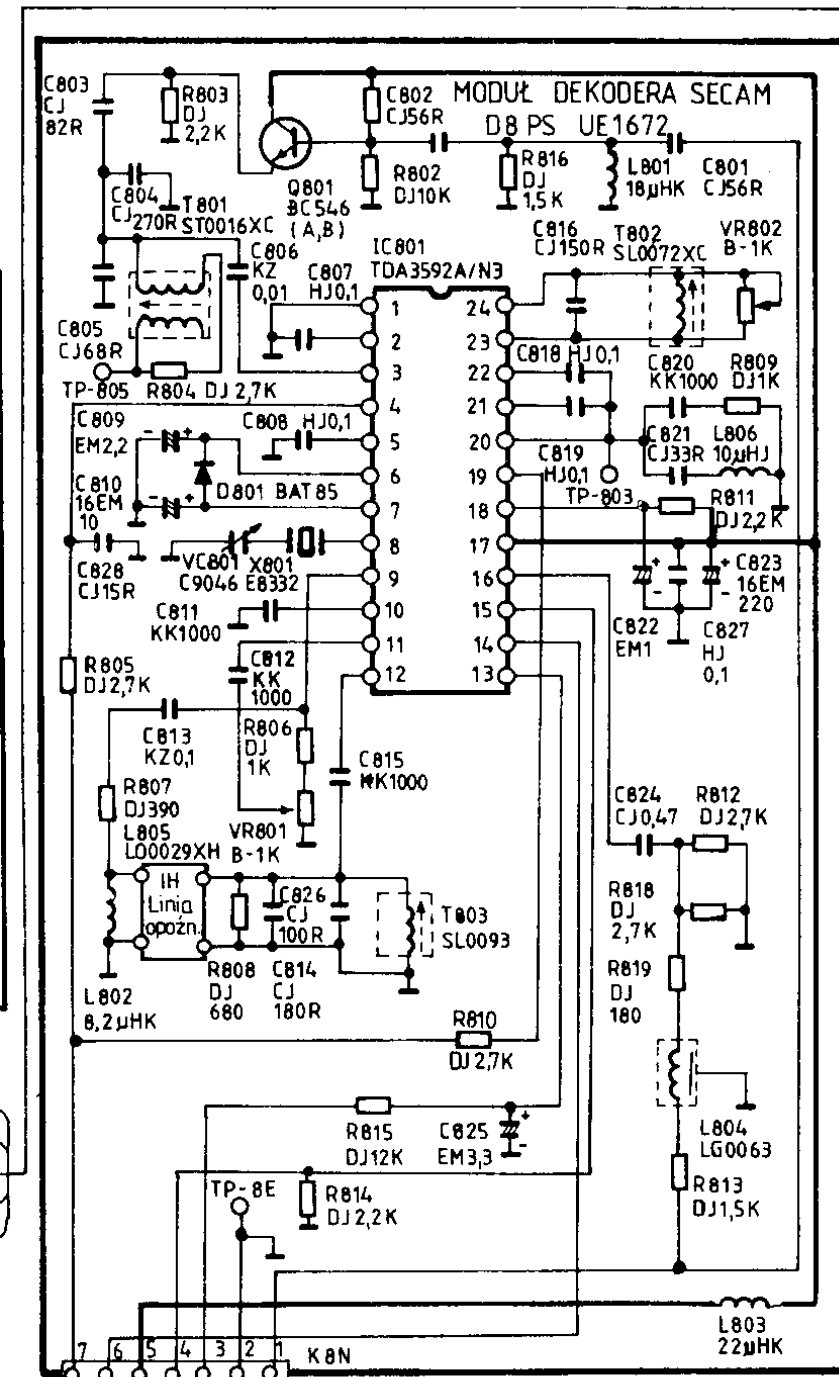
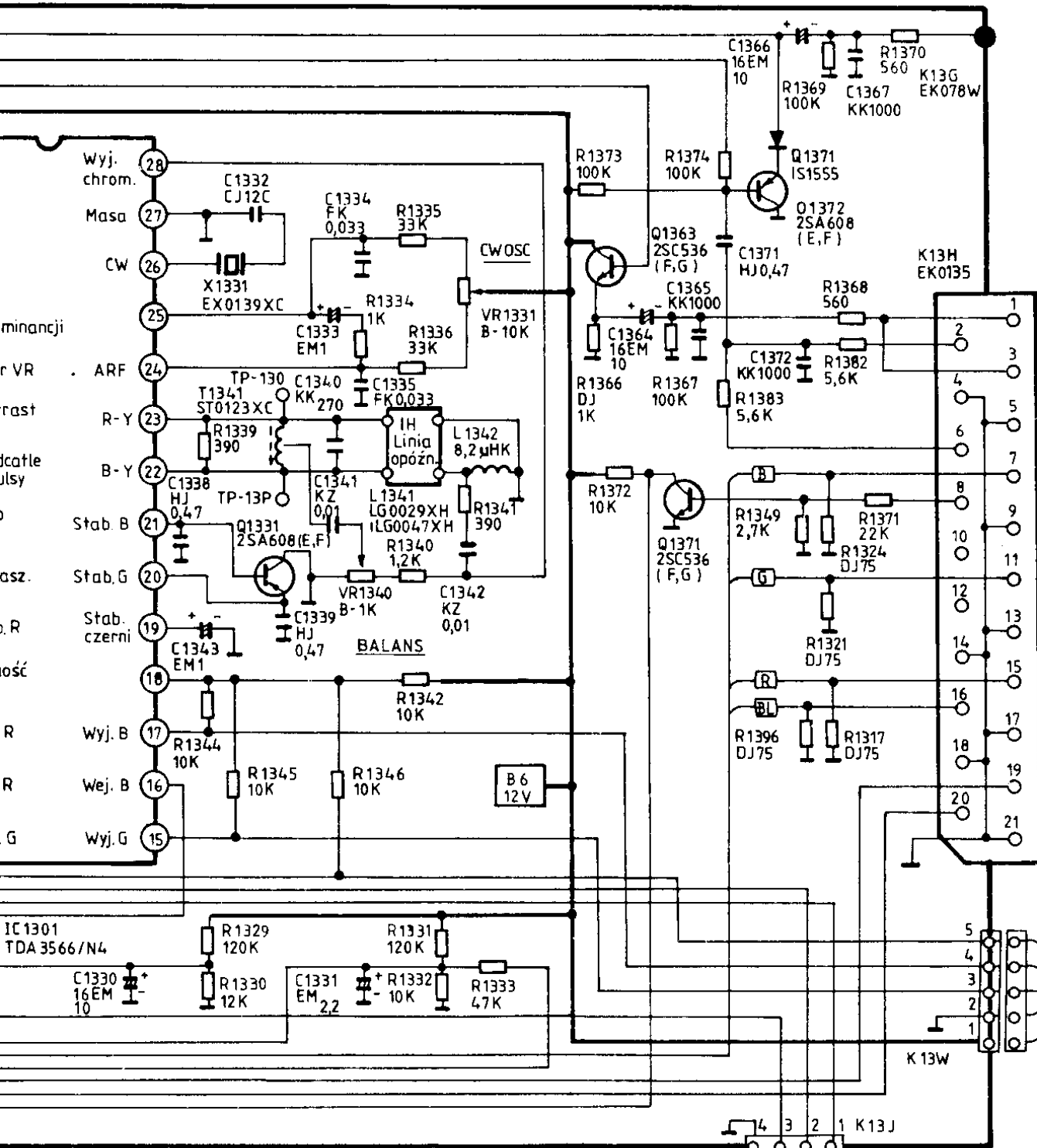
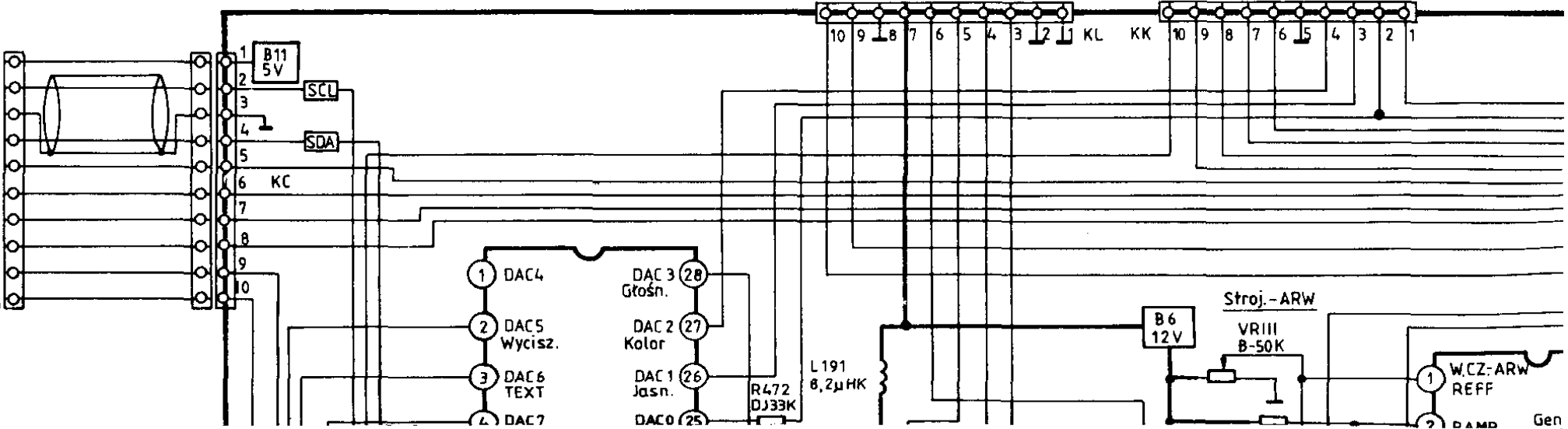
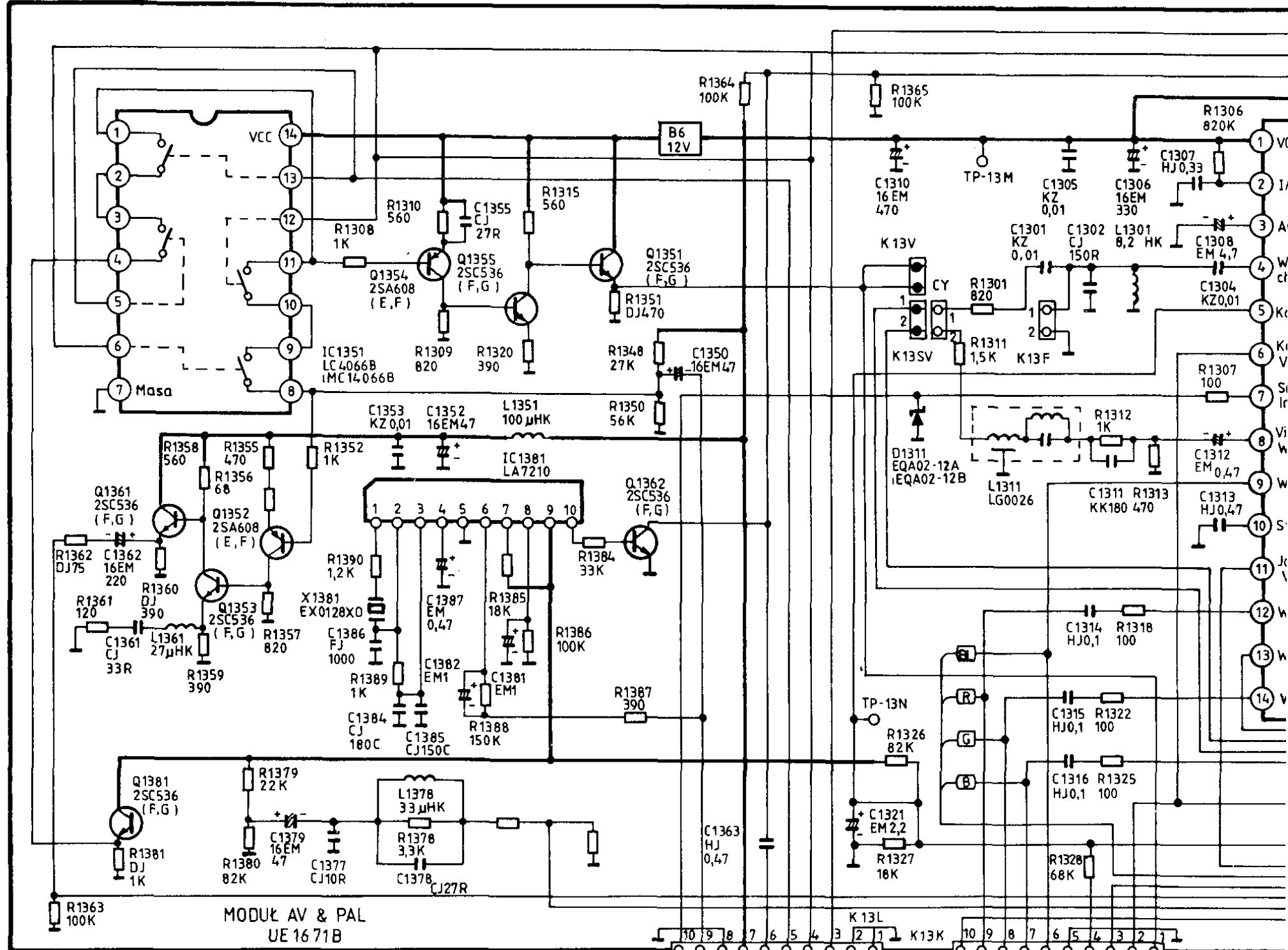
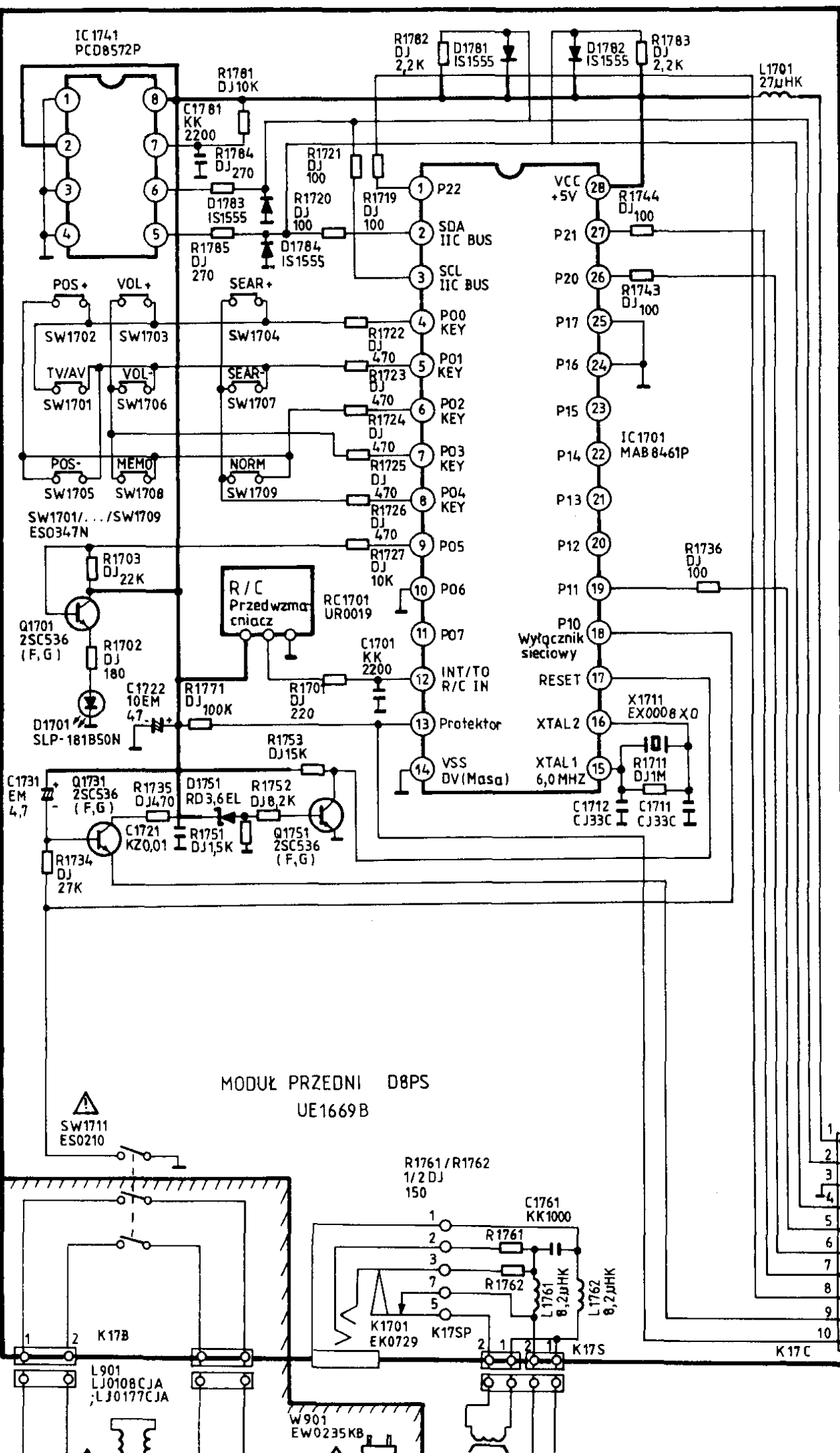
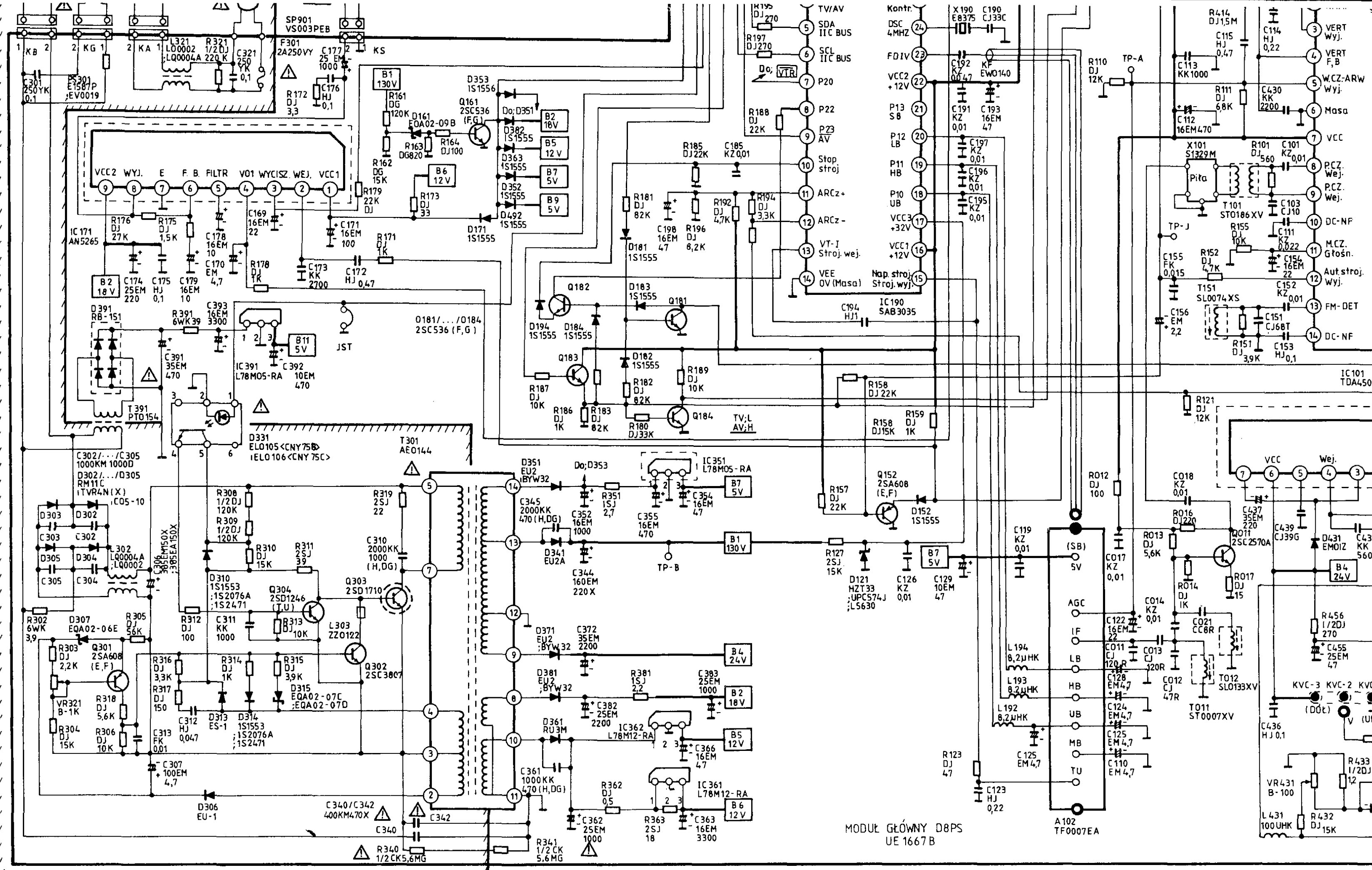


SANYO CEP2147-00
 CEP2147TX-00
 CEP2147PS-00
 CEP2147PSTX-00
 Chassis seria E2

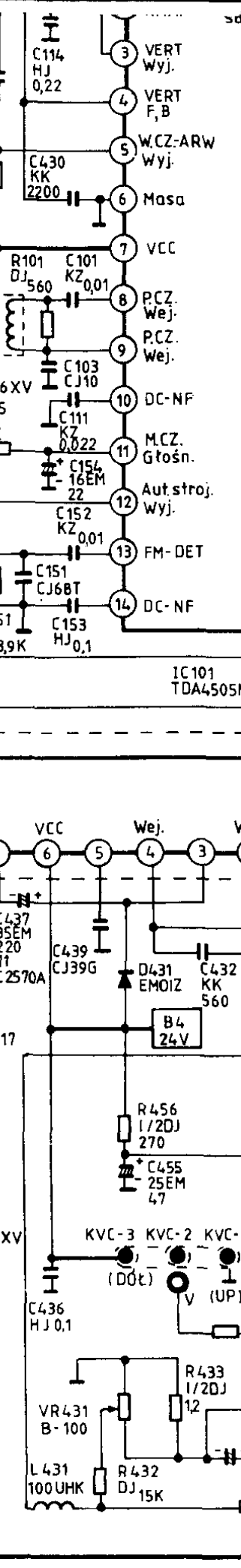






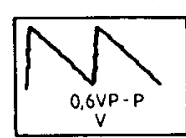
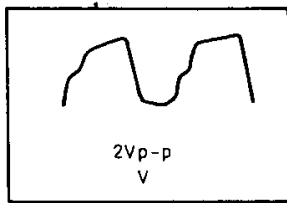
MODUL GŁÓWNY D8PS
UE 1667 B

A102
TF0007EA

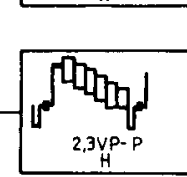


MODUL GŁÓWNY D8PS
UE 1667 B

A102
TF0007EA



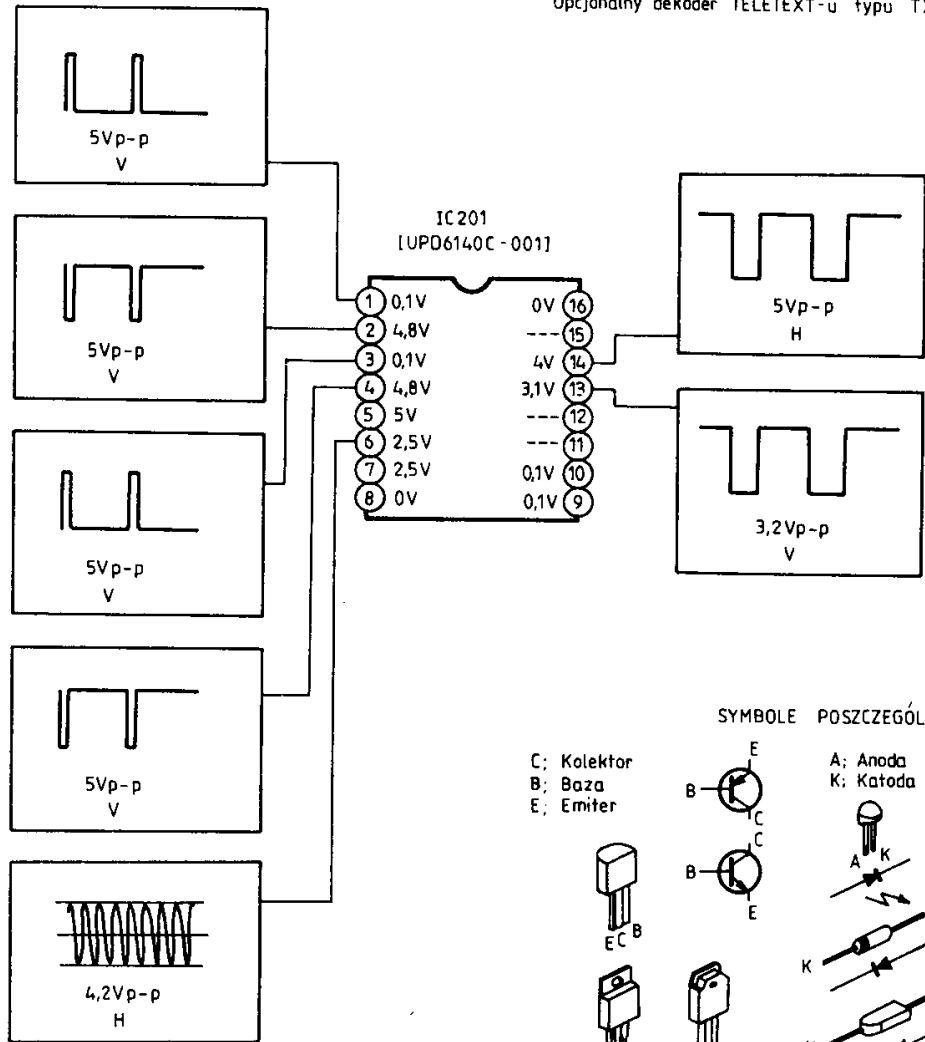
9	3,4V	5,4V	20
10	3,4V	4,8V	19
11	1,5V	5,4V	18
12	2,8V	4,2V	17
13	3,1V	0V	16
14	1,5V	2,2V	15



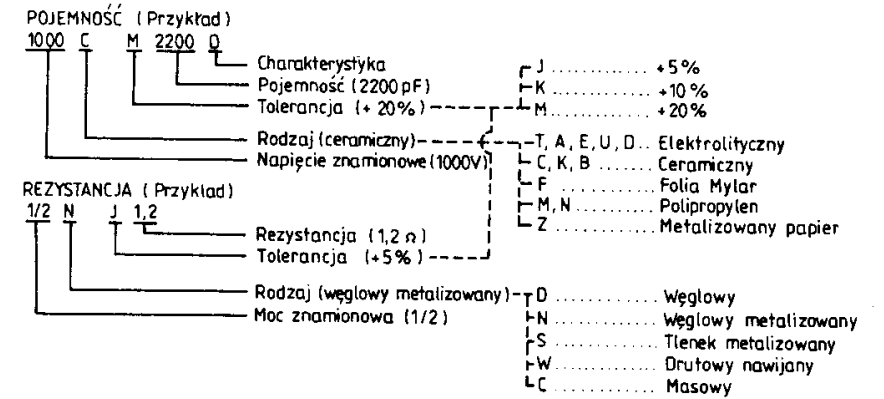
Q 1004	
	Volt.
B	0,7V
C	0V
E	0V

Q 1071	
	Volt.
B	5,2V
C	4,9V
E	4,8V

CEP2147/CEP2147PS -- Nie wyposażone w dekodery TELETEXT-u
Opcjonalny dekodery TELETEXT-u typu TX-227

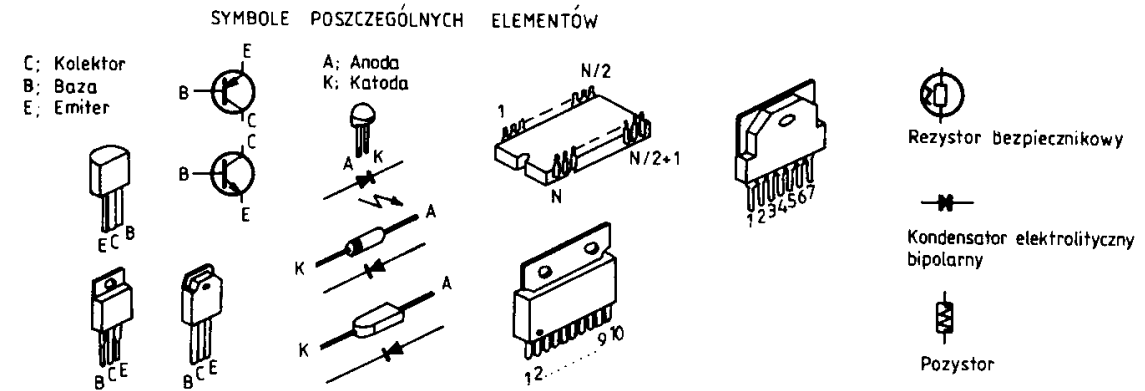


Przedstawienie pojemności i rezystancji na schemacie



Q 451	
	Oscylogram
5V	0,7VP-P H
5V	46VP-P H

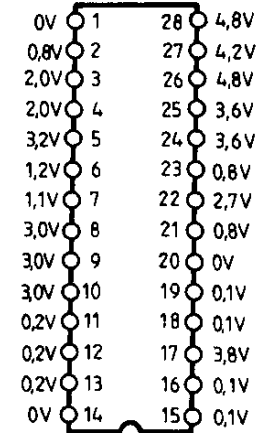
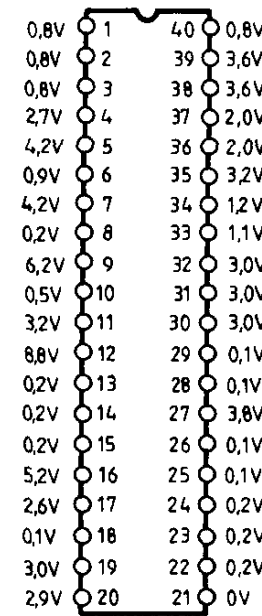
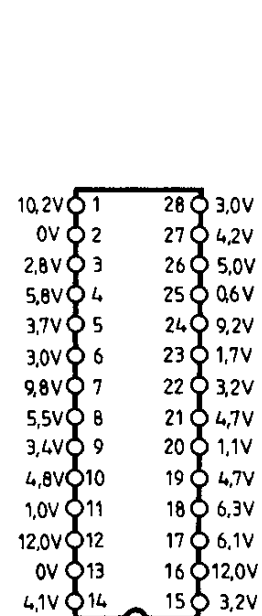
Q 452		
	Volt.	Oscylogram
B	-0,05V	1,0VP-P H
C	98,0V	820VP-P H
E	0V	-----



SANYO CEP2147-00
CEP2147TX-00
CEP2147PS-00
CEP2147PSTX-00
Chassis seria E2

Q 601		
	Volt.	Oscylogram
B	3,9V	4,2VP-P H
C	104V	100VP-P H
E	3,3V	-----

Q 611		
	Volt.	Oscylogram
B	4,0V	4,2VP-P H
C	103V	100VP-P H
E	3,4V	-----



IC1011
[SAAS231]

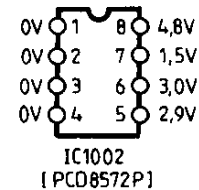
IC1031
[SAAS243]

IC1032
[TMM2064P-10]

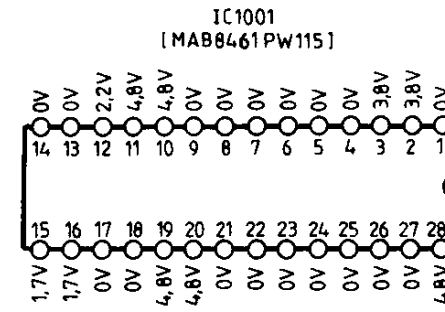
- Nie wyposażone w dekodery SECAM
Opcjonalny dekodery SECAM typu SD-226

Q 621		
	Volt.	Oscylogram
B	3,9V	3,7VP-P H
C	100V	95VP-P H
E	3,3V	-----

Q 640	
	Volt.
B	0,2V
C	0V
E	0,9V



IC1002
[PC08572P]



IC1001
[MAB8461PW115]

Q 242	
	Volt.
B	0,2V
C	3,1V
E	0V

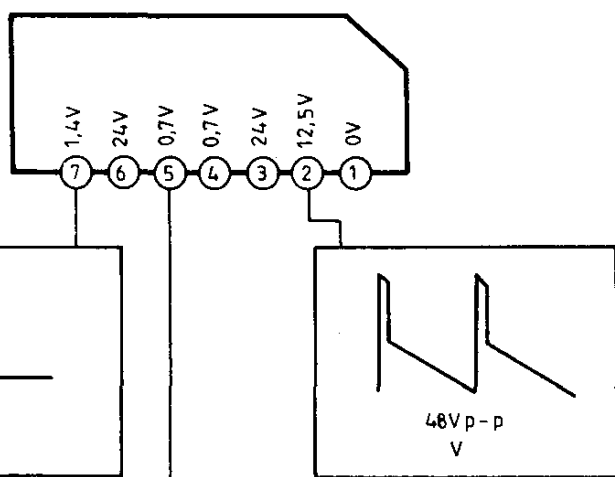
Q 221	
	Volt.
B	-0,7V
C	4V
E	0V

Q 222	
	Volt.
B	0,1V
C	5V
E	0,1V

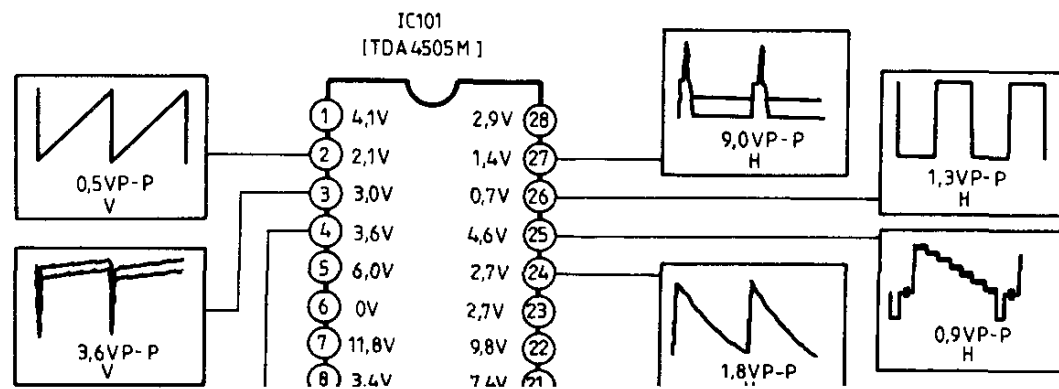
Q 223	
	Volt.
B	0,1V
C	5V
E	0,1V

Q 1041	
	Volt.
B	4,0V
C	2,2V
E	4,2V

IC431
[LA7830]



IC101
[TDA4505M]



Q 1052	
	Volt.
B	0,2V
C	4,8V
E	0V

Q 1051	
	Volt.
B	0,2V
C	4,8V
E	0V

Q 1054	
	Volt.
B	2,6V
C	4,8V
E	1,9V

Q 1053	
	Volt.
B	0,3V
C	4,8V
E	0V

Q1354	
	Volt.
B	8,7V
C	3,5V
E	9,4V

Q1355	
	Volt.
B	3,5V
C	7,7V
E	2,8V

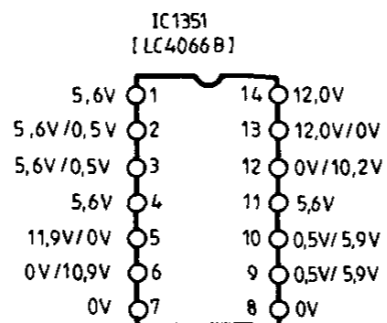
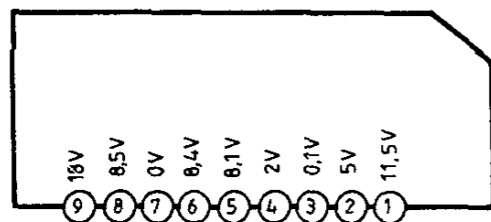
Q1351	
	Volt.
B	7,7V
C	11,8V
E	7V

Q1361	
	Volt.
B	7,8V
C	11,8V
E	7,2V

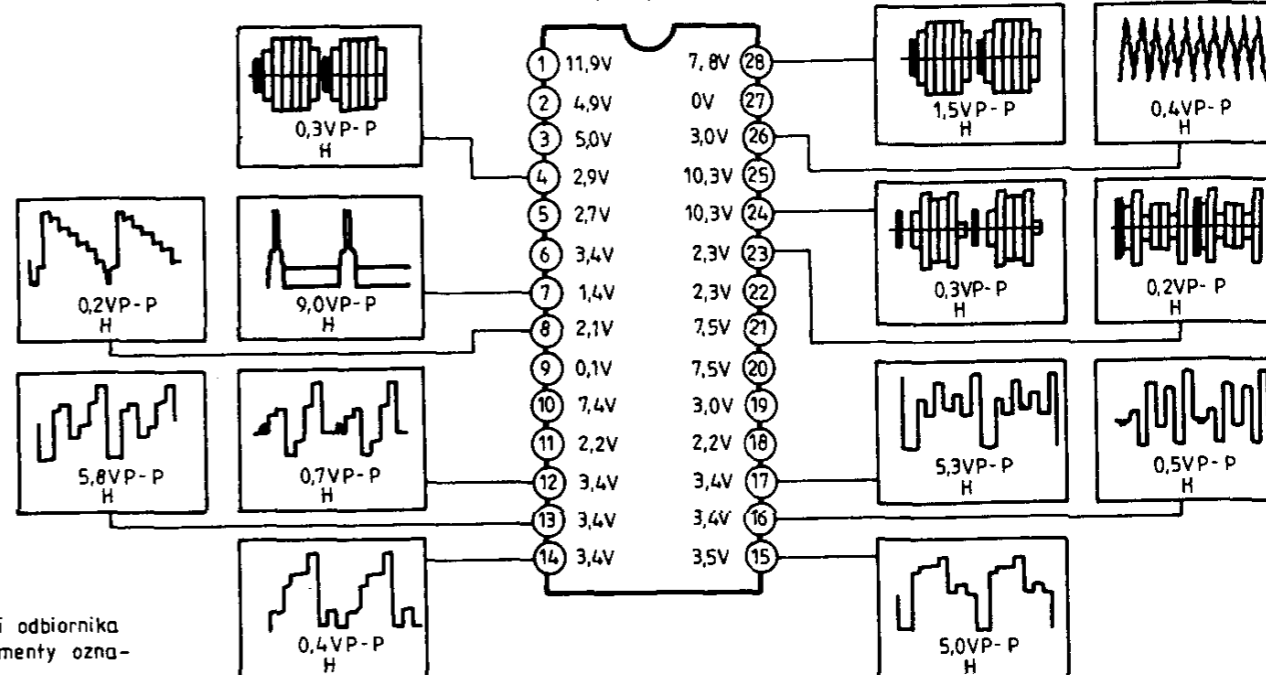
Q1353	
	Volt.
B	3,4V
C	7,8V
E	2,7V

Q1352	
	Volt.
B	8,7V
C	3,4V
E	9,4V

IC171
[AN5265]



IC1301
[TDA3566/N4]



WARUNKI BEZPIECZEŃSTWA

Podczas wymiany elementów w dowolnej części odbiornika należy zachować warunki bezpieczeństwa. Elementy oznaczone symbolem Δ mają wartości o specjalnym znaczeniu dla zachowania bezpieczeństwa. Szczególnie zaleca się, aby takie elementy były wymieniane jedynie na oryginalne, podane na schemacie i liście elementów.

IC391	
	Volt.
1	12V
2	0V
3	5V

Q161	
	Volt.
B	0,1V
C	3,5V
E	0V

Q182	
	Volt.
B	9,8V
C	11,8V
E	9,3V

Q181	
	Volt.
B	0,2V
C	10V
E	0V

Q183	
	Volt.
B	0,5V
C	11,8V
E	0,3V

Q184	
	Volt.
B	0,2V
C	11,8V
E	0V

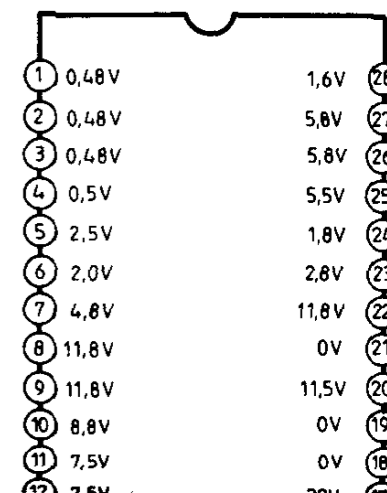
Q302		
	Volt.	Oscylogram
B	0,1V	
C	0,3V	
E	0V	-----

Q303		
	Volt.	Oscylogram
B	0,3V	
C	295V	
E	0,45V	-----

Q131		
	Volt.	Oscylogram
B	4,2V	
C	11,9V	-----
E	3,5V	

Q132		
	Volt.	Oscylogram
B	1,5V	
C	0V	-----
E	2,2V	

IC190
[SAB3035]



UWAGI OGÓLNE:

1. Wszystkie wartości rezystancji w ohmach, K=1000, M=1000000.

IC 351	
	Volt.
1	8V
2	0V
3	5V

Q152	
	Volt.
B	6,3V
C	0V
E	7V

IC 362	
	Volt.
1	15,5V
2	0V
3	11,8V


IC 361	
	Volt.
1	15V
2	0V
3	11,8V

Q301	
	Volt.
B	39V
C	7,8V
E	40V

Q304	
	Volt.
B	0V
C	0,3V
E	0V

	TELETEXT Dekoder	SECAM Dekoder
CEP2147	Opcja	Opcja
CEP2147TX	Wbudowany	Opcja
CEP2147PS	Opcja	Wbudowany
CEP2147PSTX	Wbudowany	Wbudowany

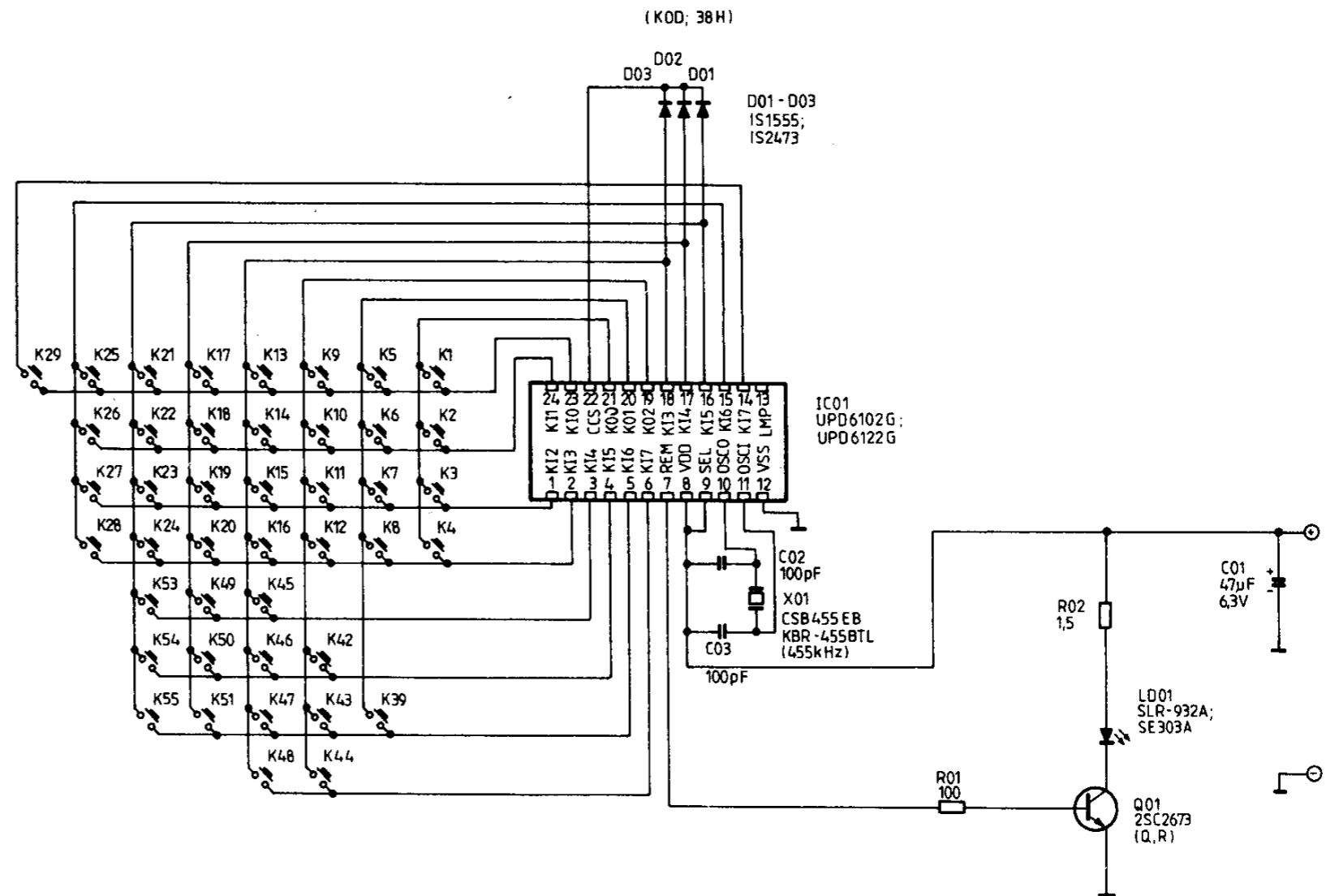
OSTRZEŻENIE SERWISOWE

Obszary oznaczone linią  są podłączone bezpośrednio do napięcia sieci. Przy serwisie tego obszaru należy podłączyć transformator bezpieczeństwa pomiędzy odbiornik a zasilające napięcie sieci, by wyeliminować ryzyko porażenia prądem.

4. Za wyjątkiem kondensatorów elektrolitycznych, wszystkie wartości pojemności mniejsze od 1 są wyrażone w μF , a wartości większe od 1 w pF. Wartości kondensatorów elektrolitycznych są w μF .
3. Wszystkie wartości indukcyjności są w μH .
4. Napięcia zmierzono sondą pomiędzy wskazanym punktem a masą chassis. Pomiary napięć przy sygnale pasów kolorowych, wszystkie regulatory ustawione na „normalnie”, przelącznik ARCz wyłączony. Niektóre wartości napięć mogą się zmieniać wraz z natężeniem sygnału.
5. Oscylogramy zdjęto przy sygnale pasów kolorowych przy regulatorach ustawionych na normalny obraz. Oscylogramy zdjęto oscyloskopem szerokopasmowym i sondą o małej pojemności.
6. Schemat przedstawia jedynie chassis w wersji podstawowej. Mogą wystąpić pewne różnice w elementach i fragmentach układu między rysunkiem a rzeczywistym chassis.



Nadajnik zdalnego sterowania RC662



	Volt.
B	
C	
E	